

# سنتر تک ظرف مشتق‌های تراهیدرو[*b*]پیران و پیرانوپیرازول‌ها با استفاده از آمونیوم فلوراید

متین اسلی<sup>۱\*</sup>، سپیده احسانی فر<sup>۲</sup>، مسعود مختاری<sup>\*</sup>

گروه شیمی، واحد رشت، دانشگاه آزاد اسلامی، رشت، ایران

**چکیده:** توجه برای توسعه روش‌های نوین برای سنتر کارآمد ترکیبات هتروسیکل یک موضوع با اهمیت در شیمی سنتز ترکیب‌های آلی است. تراهیدروبنزو[*b*]پیران‌ها و پیرانوپیرازول‌ها ترکیبات هتروسیکلی هستند که در تعدادی از فراورده‌های طبیعی زیستی مهم وجود دارند. در این پژوهش، آمونیوم فلوراید به طور موققیت آمیزی برای انجام واکنش تک ظرفی آلدهید‌ها، دیملون یا  $1,3$ -سیکلوهگزادی اون و مالونونیتریل در محلول اتانول: آب (۱:۱) در دمای اتاق برای تهیه تعدادی از مشتق‌های تراهیدروبنزو[*b*]پیران با بازده درخشان به کار برد شد. افزون بر این آمونیوم فلوراید تراکم چهار جزئی آلدهید‌ها، مالونونیتریل، هیدرازین هیدرات و اتیل استواتات را برای تولید مشتق‌های پیرانوپیرازول در محلول اتانول: آب (۱:۱) در دمای  $۱۰$  درجه سلسیوس کatalیز کرد. یک روش تمیز، زمان واکنش کوتاه، بازده بالا و استفاده از یک کاتالیزگر مؤثر ارزان و قابل دسترس و حلal غیرسمی و زیست سازگار از جمله برتری‌های این پژوهش است. همه‌ی فراورده‌های به دست آمده با استفاده از داده‌های طیفی و مقایسه ویژگی‌های فیزیکی با مشتق‌های همانند گزارش شده پیشین مورد تأیید قرار گرفتند.

**کلمات کلیدی:** تراهیدروبنزو[*b*]پیران؛ پیرانوپیرازول؛ آمونیوم فلوراید؛ مالونونیتریل؛ سنتر تک ظرف.

**KEY WORDS:** Tetrahydrobenzo[*b*]pyran, Pyranopyrazole; Ammonium fluoride; Malononitrile; One-pot synthesis.

## مقدمه

کاتالیست برای سنتر مشتق‌های بنزو[*b*]پیران و پیرانوپیرازول ها مانند  $\text{Fe}_3\text{O}_4/\text{SiO}_2\text{-Met}$  [۷]  $\text{SO}_4^{2-}/\text{MCM-41}$  [۸]  $\text{SiO}_2\text{-pr-SO}_3\text{H}$  [۹] (TEBA) [۱۰]  $\text{K}_3\text{PO}_4$  [۱۱]  $\text{HDMBAB}$  [۱۲]  $\text{Fe}_{3-x}\text{Ti}_x\text{O}_4@\text{SO}_3\text{H}$  [۱۳]  $\text{K}_3\text{PO}_4$  [۱۴]  $\text{SILC}$  [۱۵]  $\text{Ti}(\text{Am})_2\text{Cl}_2$  [۱۶]  $\text{TBABr}$  [۱۷] اوره [۱۸]  $\text{Fe}_3\text{O}_4@\text{SiO}_2$  [۱۹]  $\text{Chk1}$  [۲۰]، مورفولین تری فلات [۲۱]،  $\text{Fe}_3\text{O}_4@\text{SiO}_2$  [۲۲]  $\text{Fe}_3\text{O}_4@\text{SiO}_2$  [۲۳]

مشتق‌های بنزو[*b*]پیران دارای ویژگی‌های دارویی گوناگونی مانند اسپاسمولتیک، دیورتیک، ضد انقدادی، ضد سرطان و فعالیت ضد انفی لاكتیک هستند [۲۱]. افزون بر این، این ترکیب‌ها می‌توانند به عنوان رنگدانه‌های استفاده شوند و همچنین واحد ساختاری تعدادی از فراورده‌های طبیعی را تشکیل می‌دهند [۳]. همچنین، پیرانوپیرازول‌ها بهدلیل فعالیت زیستی چشمگیری مانند ضد سرطان [۴]، ضد التهاب [۵] و مهارکننده کیناز  $\text{Chk1}$  [۶] مورد توجه زیادی قرار گرفته‌اند. چندین

\*E-mail: mmokhtary@iaurasht.ac.ir

\* عهده دار مکاتبات

### روش عمومی سنتز مشتق‌های تراهیدروبنزو[b]پیران

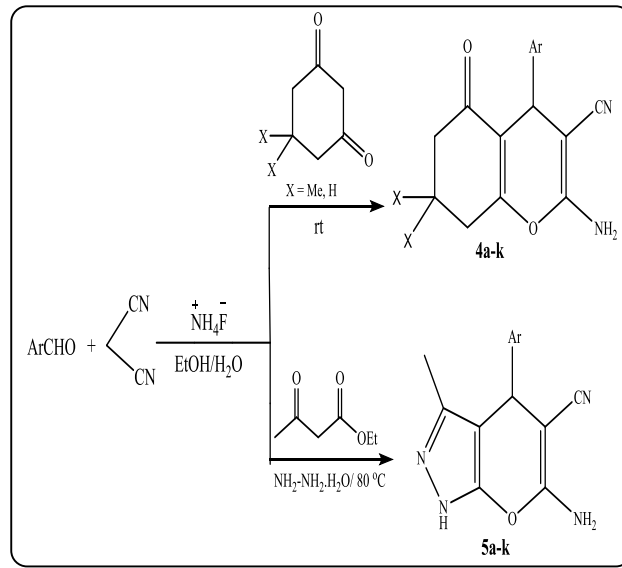
مخلوطی از بنزآلدهید‌ها (۱ میلی مول)، مالونونیتریل (۱ میلی مول، ۰/۰۶۶ گرم)، دیدمون (۱ میلی مول، ۰/۱۴۰ گرم)، یا ۱۳-سیکلوهگرا دی اون (۱ میلی مول، ۰/۱۱۲ گرم)، و آمونیوم فلورید (۰/۲۰۰ میلی مول، ۰/۰۰۷۴ گرم) در مخلوط اتانول: آب (۱:۵) در دمای اتاق هم زده شد. پیشرفت واکنش با کروماتوگرافی لایه نازک (TLC) دنبال شد پس از اتمام واکنش، رسوب به دست آمده صاف و با آب شستشو و با اتانول داغ تبلور دوباره شد. فراورده‌های به دست آمده جمع آوری و در آن خشک شد و با استفاده از داده‌های طیفی و مقایسه ویژگی‌های فیزیکی با مشتق‌ات مشابه گزارش شده در منابع مورد تأیید قرار گرفتند.

### روش عمومی سنتز مشتق‌های پیرانوپیرازول

مخلوطی از بنزآلدهید‌ها (۱ میلی مول)، مالونونیتریل (۱ میلی مول، ۰/۰۶۶ گرم)، هیدرازین هیدرات (۱ میلی مول، ۰/۰۵۰ گرم)، اتیل استواتسات (۱ میلی مول، ۰/۱۳ گرم) و آمونیوم فلورید (۰/۰۰۹۲ گرم) در مخلوط اتانول: آب (۱:۵) (۰/۰۱ میلی لیتر) در دمای ۸۰ درجه سلسیوس هم زده شد. پیشرفت واکنش با کروماتوگرافی لایه نازک (TLC) دنبال شد. پس از پایان واکنش، مخلوط واکنش در دمای اتاق سرد شد و رسوب به دست آمده صاف و با آب شستشو و با اتانول داغ تبلور دوباره شد. فراورده‌های به دست آمده جمع آوری و در آن خشک شد و با استفاده از داده‌های طیفی و مقایسه ویژگی‌های فیزیکی با مشتق‌های همانند گزارش شده در منابع مورد تأیید قرار گرفتند.

### داده‌های طیفی تعدادی مشتق‌ات جدید

**2-amino-4-(4-bromophenyl)-5-oxo-5,6,7,8-tetrahydro-4H-chromene-3-carbonitrile (4g):** White powder, FT-IR (KBr,  $\text{cm}^{-1}$ ): 3417, 3330 ( $\text{NH}_2$ ), 2962 (aromatic C-H), 2912 (aliphatic CH stretch), 2194 (CN stretch), 1679 (C=O stretch), 1598, 1652 (aromatic C=O stretch), 1205 (C=O stretch), 823 (C-Br stretch), 709 (aromatic C-H out of plane bending).  $^1\text{H}$  NMR (400 MHz, DMSO-d<sub>6</sub>):  $\delta$  = 7.58 (d, 2H,  $J$  = 12 Hz), 7.15 (d, 2H,  $J$  = 12 Hz), 7.09 (s, 1H), 4.1 (s, 1H), 2.68-2.51 (m, 2H), 2.36-2.21 (m, 2H), 2.0-1.94 (m, 2H) ppm.  $^{13}\text{C}$  NMR (100 MHz, DMSO-d<sub>6</sub>):  $\delta$  = 196 (C=O), 165.1, 158.9, 144.7, 131.6, 129.9, 120.1, 113.7, 58.0, 36.7, 35.5, 26.9, 20.2 ppm. Anal. Calcd. for C<sub>16</sub>H<sub>12</sub>N<sub>2</sub>O<sub>2</sub>Br: C, 55.83; H, 3.51, N, 8.14. Found: C, 55.61; H, 3.36, N, 7.98.



شما ۱ - سنتز مشتق‌های تراهیدروبنزو[b]پیران و پیرانوپیرازول ها با استفاده از آمونیوم فلورید

۷-آلومینا [۲۴]، L-پرولین [۲۵]،  $\beta$ -سیکلودکسترین [۲۶]، ستیل تری اتیل آمونیوم کلرید (CTACl) [۲۷]، تترامتیل گوانیدین حامل سیلیکا [۲۸]، ZnO [۳۰] [bmim]OH [۳۹] TUD [۳۲] K-10 [۳۱]، موتموریلوفنیت NiFe<sub>2</sub>O<sub>4</sub>@SiO<sub>2</sub>-H<sub>3</sub>PW<sub>12</sub>O<sub>40</sub> Fe<sub>2</sub>O<sub>3</sub> [۳۴] (Na<sub>2</sub>CaP<sub>2</sub>O<sub>7</sub>) [۳۴] گزارش شده است. همچنین کاتالیست  $\text{Fe}_2\text{O}_3$  برای سنتز تک ظرف مشتق‌های اسپیرو-4H-پیران گزارش شده است [۳۵]. برخی از روش‌های گزارش شده دارای یک یا چند مشکل، از جمله زمان واکنش طولانی، بازده غیر دلخواه و استفاده از کاتالیست‌های گران هستند. در این پژوهش، آمونیوم فلورید به عنوان یک کاتالیست ارزان قیمت و قابل دسترس بطور موفقیت آمیزی برای سنتز تعدادی از مشتق‌های تراهیدروبنزو[b]پیران و پیرانوپیرازول ها در مخلوط اتانول: آب (۱:۱) با بازده عالی به کار گرفته شده است (شما ۱).

### بخش تجربی مواد شیمیایی و ابزارها

همه مواد شیمیایی از شرکت مرک خریداری شده است. دمای ذوب توسط دستگاه الکتروترمال ۹۱۰۰ ثبت شده است. طیف IR با قرص پتاسیم برمید با دستگاه FT-IR شیمادزو مدل SP-1100 ثبت شد. طیف NMR در حلal CDCl<sub>3</sub> با دستگاه NMR Carlo-Erba EA1110CNNO-S با دستگاه تجزیه کننده مدل Bruker Avance DRX-400 MHz انجام شد و با مقدارهای محاسبه شده تأیید شد.

مؤثر در بازده و زمان واکنش داشت. در این مطالعه، مقدار بهینه کاتالیست  $0.2\text{ میلی مول}$  به دست آمد که جدول ۱- بهینه سازی حلال واکنش برای سنتر ترکیب ۴b.

ردیف	حال	بازده (درصد)
۱	بدون حلال	۵۴
۲	آب	۷۸
۳	استونیتریل	۸۲
۴	دی‌کلرومتان	۴۲
۵	اتانول	۸۶
۶	اتانول: آب (۱:۱)	۹۶

منجر به فراورده ۴b با بازده  $96\%$  شد. پس از بهینه سازی شرایط واکنش، مشتق‌های تراهیدروبنزو[b]پیران با استفاده از  $\text{NH}_4\text{F}$  با بازده عالی سنتر شد (جدول ۲، ردیف ۱-۱۱). واکنش با همه بنزآلدیدها با استخلاف الکترون دهنده یا الکترون کشنده انجام شد.

در آزمایش بعدی، واکنش اتیل استو استات، ۴-کلروبنزآلدید، هیدرات و مالونونیتریل به عنوان واکنش مدل در حلال‌های متفاوت مانند دی‌کلرومتان، اتانول، استونیتریل، آب، اتانول: آب، اوره: کولین کلرید و شرایط بدون حلال با استفاده از کاتالیست آمونیوم فلوئورید ( $0.25\text{ میلی مول}$ ) در دمای اتاق به مدت یک ساعت مورد بررسی قرار گرفت. در این مطالعه دیده شد که آمونیوم فلوئورید در مخلوط اتانول: آب (۱:۱) در دمای  $80^\circ\text{C}$  درجه سلسیوس با توجه به زمان و بازده واکنش عملکرد بهتری داشت (جدول ۳).

همچنین بررسی اثر مقدار کاتالیست در واکنش اتیل استو استات، ۴-کلروبنزآلدید، هیدرات و مالونونیتریل در حضور مقدارهای گوناگون  $\text{NH}_4\text{F}$  انجام شد. دیده شد که تغییر در مقدار  $\text{NH}_4\text{F}$  تأثیر مؤثر در بازده و زمان واکنش داشت. در این مطالعه، مقدار بهینه کاتالیزگر  $0.2\text{ میلی مول}$  به دست آمد که منجر به فراورده ۵b با بازده  $97\%$  شد. پس از بهینه سازی شرایط واکنش، مشتق‌های پیرانوپیرازول با استفاده از  $\text{NH}_4\text{F}$  با بازده درخشان سنتر شد (جدول ۴، ردیف ۱-۱۱). واکنش با همه بنزآلدیدها با استخلاف الکترون دهنده یا الکترون کشنده انجام شد.

به منظور بررسی کارایی روش ارایه شده برای سنتر مشتق‌های تراهیدروبنزو[b]پیران و پیرانوپیرازول‌ها، ترکیب‌های ۴b و ۵a با تعدادی از روش‌هایی که برای سنتر این ترکیبات تاکنون گزارش شده بود مقایسه شد (جدول ۵). همان‌گونه که دیده می‌شود، نتیجه‌ها

**2-amino-4-(3-methoxyphenyl)-5-oxo-5,6,7,8-tetrahydro-4H-chromene-3-carbonitrile (4j):** White powder, FT-IR (KBr,  $\text{cm}^{-1}$ ): 3323, 3257 ( $\text{NH}_2$ ), 2968 (aromatic C-H), 2937 (aliphatic CH stretch), 2194 (CN stretch), 1679 ( $\text{C=O}$  stretch), 1645, 1598 (aromatic C=C stretch), 1205 ( $\text{C=O}$  stretch), 709 (aromatic C-H out of plane bending).  $^1\text{H}$  NMR (400 MHz, DMSO-d<sub>6</sub>):  $\delta = 7.24$  (t, 1H,  $J = 16\text{ Hz}$ ), 7.03 (s, 1H), 6.77-6.79 (m, 1H), 6.76 (d, 1H,  $J = 16\text{ Hz}$ ), 6.68-6.69 (m, 1H), 4.17 (s, 1H), 3.73 (s, 3H), 2.52-2.68 (m, 2H), 2.25-2.35 (m, 2H), 1.95-2.01 (m, 2H) ppm.  $^{13}\text{C}$  NMR (100 MHz, DMSO-d<sub>6</sub>):  $\delta = 196.3$ , 165.0, 159.6, 159.0, 146.8, 129.9, 120.2, 119.7, 114.1, 113.8, 111.8, 58.5, 55.3, 36.8, 35.8, 26.9, 20.3 ppm. Anal. Calcd. for  $\text{C}_{17}\text{H}_{15}\text{N}_2\text{O}_2$ : C, 73.10; H, 5.41, N, 10.03. Found: C, 72.98; H, 5.33, N, 9.97.

**6-amino-4-isopropyl-3-methyl-1,4-dihydropyrano[2,3-c]pyrazole-5-carbonitrile (5k):** Yellow powder, FT-IR (KBr,  $\text{cm}^{-1}$ ): 3296, 3272 ( $\text{NH}_2$  stretch), 2956 (N-H stretch), 2869 (aromatic C-H stretch), 2235 (CN stretch), 1602 (aromatic C=C stretch), 1145 (C-O stretch), 752 (C-H out of plane bending).  $^1\text{H}$  NMR (400 MHz, DMSO-d<sub>6</sub>):  $\delta = 0.76$  (d,  $J = 6.4$ , 3H,  $\text{CH}_3$ ), 0.82 (d,  $J = 6.8$ , 3H,  $\text{CH}_3$ ), 1.78-1.86 (m, 1H), 2.17 (s, 3H), 3.38 (d,  $J = 3.2$ , CH), 6.82 (s, 2H,  $\text{NH}_2$ ), 12.05 (s, 1H, NH) ppm.  $^{13}\text{C}$  NMR (100 MHz, DMSO-d<sub>6</sub>):  $\delta = 10.9$ , 18.9, 18.99, 37.0, 39.3, 39.5, 40.3, 53.7, 97.4, 122.4, 135.1, 156.8, 163.5 ppm. Anal. Calcd. for  $\text{C}_{11}\text{H}_{14}\text{N}_4\text{O}$ : C, 60.54; H, 6.47, N, 25.67. Found: C, 60.42; H, 6.38, N, 25.58.

## نتیجه‌ها و بحث

به منظور بهینه سازی شرایط واکنش و به دست آوردن بهترین فعالیت کاتالیستی، واکنش دیمدون، ۴-کلروبنزآلدید و مالونونیتریل به عنوان یک واکنش مدل در چندین حلال مانند استونیتریل، اتیل استات، اتانول، دی‌کلرومتان، آب، مخلوط اتانول: آب، و در شرایط بدون حلال با استفاده از کاتالیست آمونیوم فلوئورید ( $0.25\text{ میلی مول}$ ) در دمای اتاق به مدت یک ساعت مورد بررسی قرار گرفت. در این مطالعه دیده شد که واکنش در مخلوط اتانول: آب (۱:۱) در دمای اتاق با توجه به زمان واکنش و بازده فراورده کارآیی بیشتری دارد (جدول ۱). برای بررسی اثر مقدار کاتالیست، واکنش مدل با مقدارهای گوناگون  $\text{NH}_4\text{F}$  انجام شد. دیده شد که تغییر در مقدار  $\text{NH}_4\text{F}$  تأثیر داشت. همان‌گونه که دیده شد، نتیجه‌ها

نشان داد با در نظر گرفتن بازده، زمان و شرایط واکنش، روش حاضر کارایی بسیار خوبی نسبت به روش هایی که پیش تر گزارش شده بود، دارد.

جدول ۲- سنتز مشتق های تتراهیدروبنزوا[b]پیران با استفاده از  $\text{NH}_4\text{F}$ .

ردیف	محصول	X استخالاف	استخالاف Ar	زمان (دقیقه)	بازدہ (%)	دماهی ذوب (°C)	مشاهده شده گزارش شده
۱	۴a	Me	C <sub>6</sub> H <sub>5</sub>	۱۶	۹۵	۲۳۰-۲۳۲ [۱۲]	۲۲۸-۲۳۰
۲	۴b	Me	4-Cl-C <sub>6</sub> H <sub>4</sub>	۱۲	۹۶	۲۱۱-۲۱۳ [۱۲]	۲۱۲-۲۱۴
۳	۴c	Me	3-Cl-C <sub>6</sub> H <sub>4</sub>	۱۲	۹۶	۲۲۵-۲۲۷ [۱۳]	۲۲۴-۲۳۶
۴	۴d	Me	3-MeO-C <sub>6</sub> H <sub>4</sub>	۳۰	۹۵	۱۹۲-۱۹۴ [۱۳]	۱۹۱-۱۹۳
۵	۴e	Me	4-NO <sub>2</sub> -C <sub>6</sub> H <sub>4</sub>	۳۵	۹۸	۱۷۷-۱۷۹ [۱۲]	۱۷۸-۱۸۰
۶	۴f	Me	4-Br-C <sub>6</sub> H <sub>4</sub>	۳۰	۹۷	۲۰۶-۲۰۹ [۱۲]	۲۰۶-۲۰۸
۷	۴g	H	4-Br-C <sub>6</sub> H <sub>4</sub>	۲۰	۹۶	---	۲۰۴-۲۰۶
۸	۴h	H	2-Cl-C <sub>6</sub> H <sub>4</sub>	۱۵	۹۵	۲۰۹-۲۱۱ [۹]	۲۱۰-۲۱۲
۹	۴i	H	4-Cl-C <sub>6</sub> H <sub>4</sub>	۲۰	۹۶	۲۲۰-۲۲۲ [۱۲]	۲۲۲-۲۲۴
۱۰	۴j	H	3-MeO-C <sub>6</sub> H <sub>4</sub>	۲۵	۹۴	---	۱۹۶-۱۹۸
۱۱	۴k	H	3-NO <sub>2</sub> -C <sub>6</sub> H <sub>4</sub>	۱۵	۹۶	۲۰۴-۲۰۶ [۱۲]	۲۰۵-۲۰۷

جدول ۳- بهینه سازی حلال واکنش برای سنتز ترکیب ۵b.

ردیف	حال	بازدہ (درصد)
۱	بدون حلال	۵۰
۲	آب	۷۵
۳	استونیتریل	۶۲
۴	دی کلرومتان	۴۴
۵	اتانول	۸۰
۶	اتانول: آب (۱:۱)	۹۷

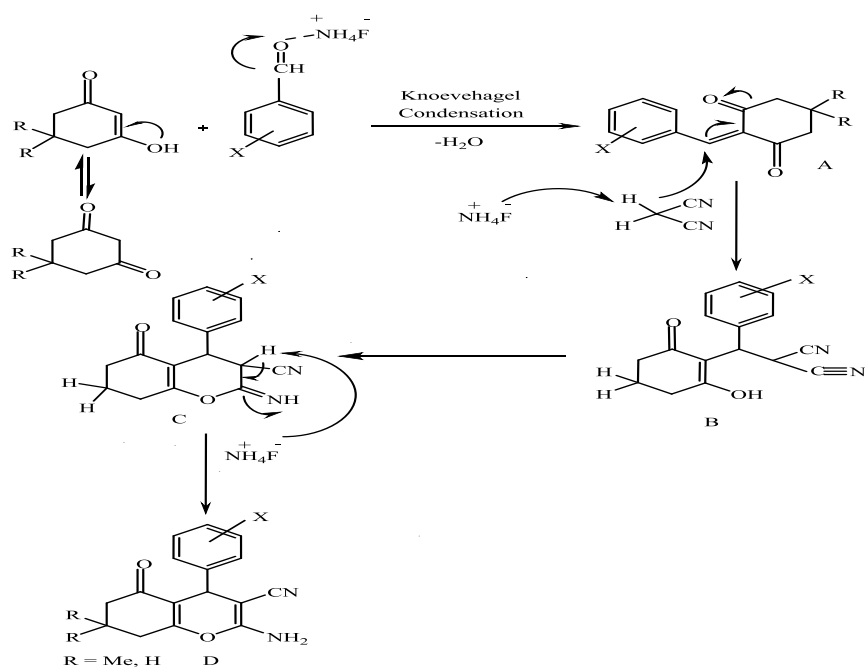
جدول ۴- سنتز مشتق های پیرانوپیرازول با استفاده از  $\text{NH}_4\text{F}$ .

ردیف	فرارورده	Ar استخالاف	زمان (دقیقه)	بازدہ (%)	دماهی ذوب (°C)	مشاهده شده گزارش شده	دیده شده
۱	۵a	C <sub>6</sub> H <sub>5</sub>	۱۵	۹۶	۲۴۴-۲۴۶	۲۴۴-۲۴۵ [۳۰]	۲۴۴-۲۴۶
۲	۵b	4-Cl-C <sub>6</sub> H <sub>4</sub>	۱۳	۹۷	۲۲۲-۲۳۴	۲۲۲-۲۲۴ [۳۰]	۲۲۲-۲۳۴
۳	۵c	3-Cl-C <sub>6</sub> H <sub>4</sub>	۱۲	۹۶	۱۸۰-۱۸۲	۱۸۱-۱۸۲ [۳۲]	۱۸۰-۱۸۲
۴	۵d	3-MeO-4-HO-C <sub>6</sub> H <sub>4</sub>	۳۰	۹۳	۲۲۳-۲۲۵	۲۲۴-۲۲۶ [۳۱]	۲۲۳-۲۲۵
۵	۵e	4-NO <sub>2</sub> -C <sub>6</sub> H <sub>4</sub>	۳۵	۹۷	۲۵۰-۲۵۲	۲۵۱-۲۵۲ [۳۰]	۲۵۰-۲۵۲
۶	۵f	4-Br-C <sub>6</sub> H <sub>4</sub>	۳۰	۹۷	۲۴۸-۲۵۰	۲۴۸-۲۵۱ [۳۰]	۲۴۸-۲۵۰
۷	۵g	3-Br-C <sub>6</sub> H <sub>4</sub>	۲۰	۹۶	۲۲۳-۲۲۴	۲۲۳-۲۲۴ [۳۰]	۲۲۳-۲۲۴
۸	۵h	3-NO <sub>2</sub> -C <sub>6</sub> H <sub>4</sub>	۱۵	۹۵	۲۲۳-۲۳۵	۲۲۲-۲۲۴ [۳۰]	۲۲۳-۲۳۵

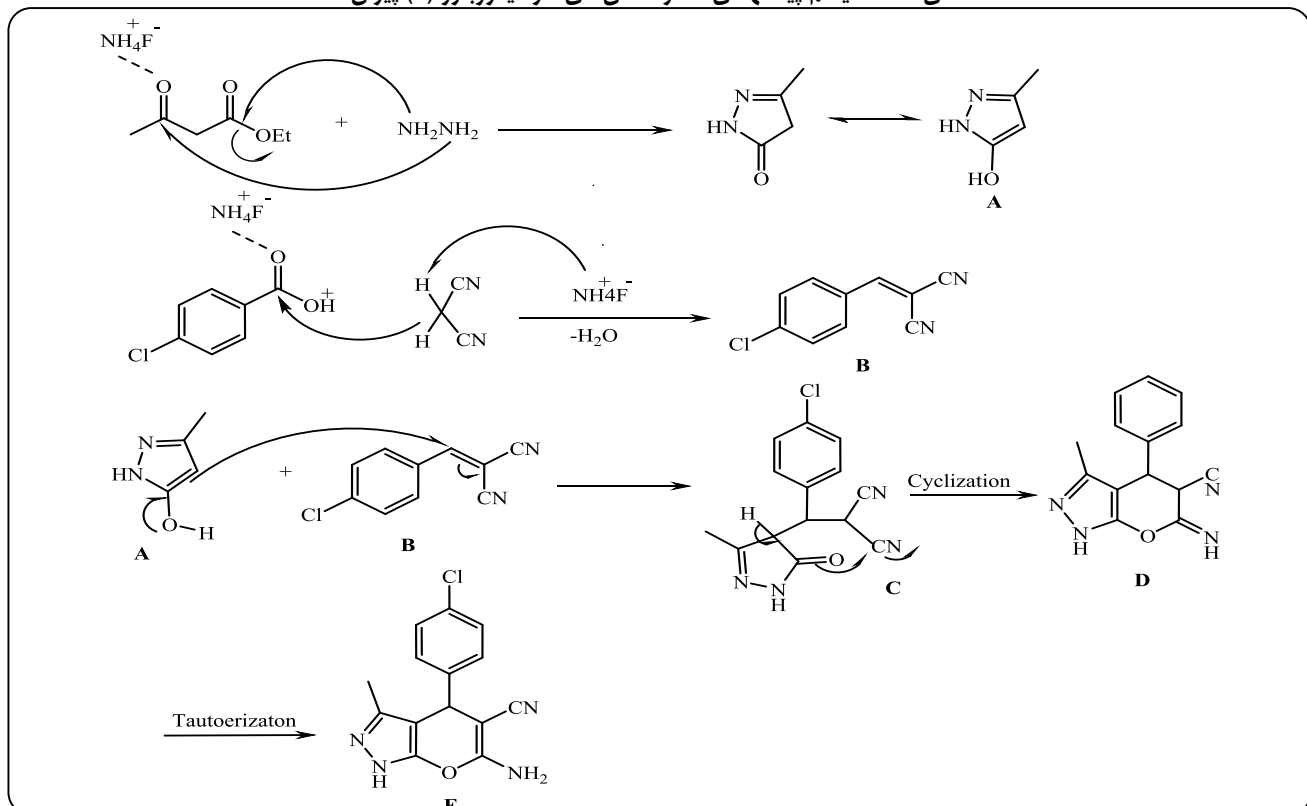
۲۲۴-۲۲۶	۲۲۴-۲۲۶ [۳۰]	۹۲	۲۰	4-HO-C <sub>6</sub> H <sub>4</sub>	۵i	۹
۲۵۰-۲۵۲	۲۵۱-۲۵۲ [۳۰]	۹۱	۲۵	2-MeO-C <sub>6</sub> H <sub>4</sub>	۵j	۱۰
۲۲۹-۲۳۰	-----	۹۴	۱۸	4-(CH <sub>3</sub> ) <sub>2</sub> CH	۵k	۱۱

جدول ۵- مقایسه روش حاضر با سایر روش های گزارش شده برای سنتز ترکیبات ۴b و ۵a

ردیف	فراروده	کاتالیست	شرایط واکنش	زمان (دقیقه)	بازده (درصد)	مرجع
۱	۴b	SO <sub>4</sub> <sup>2-</sup> /MCM-41	بازروانی/اتانول	۶۰	۸۰	[۸]
۲	۴b	SB-DABCO	دمای محیط/اتانول	۲۵	۹۵	[۹]
۳	۴b	TEBA	آب/۹۰ °C	۴۲۰	۹۴	[۱۰]
۴	۴b	[PVPH]HSO <sub>4</sub>	(۳:۷)/۸۰ °C آب:اتانول	۱۲	۹۶	[۱۲]
۵	۴b	Thiamine hydrochloride	(۱:۴)/(۵۰ °C) آب:اتانول	۲۵	۹۵	[۱۳]
۶	۴b	SiO <sub>2</sub> -pr-SO <sub>3</sub> H	بازروانی/آب	۲۰	۹۰	[۱۱]
۷	۴b	HDMBAB	آب/۸۰-۹۰ °C	۴۵۰	۹۰	[۱۷]
۸	۴b	SILC	۸۰ °C	۱۵	۹۴	[۱۴]
۹	۴b	Fe <sub>3-x</sub> TixO <sub>4</sub> @SO <sub>3</sub> H	بازروانی/(۱:۱) آب:اتانول	۶۰	۹۵	[۱۵]
۱۰	۴b	K <sub>3</sub> PO <sub>4</sub>	دمای محیط/(۱:۴) آب:اتانول	۶۰	۹۳	[۱۶]
۱۱	۴b	NH <sub>4</sub> F	دمای محیط/(۱:۱) آب:اتانول	۱۲	۹۶	روش حاضر
۱۲	۵a	[bmim]OH	۵۰-۶۰ °C	۱۰	۸۸	[۳۱]
۱۳	۵a	nano-ZnO	آب/۷۰ °C	۶۰	۹۴	[۳۲]
۱۴	۵a	β-CD	دمای محیط/(۱:۹) آب:اتانول	۱۵	۹۰	[۲۷]
۱۵	۵a	CTACl	آب/۹۰ °C	۲۴۰	۸۹	[۲۸]
۱۶	۵a	Sodium benzoate	دمای محیط/آب	۶۰	۸۵	[۱۹]
۱۷	۵a	Urea	دمای محیط/(۱:۱) آب:اتانول	۴۸۰	۸۶	[۲۰]
۱۷	۵a	SiO <sub>2</sub> -TMG	۱۰۰ °C	۳۰	۹۶	[۲۹]
۱۸	۵a	MorT	بازروانی/(۹:۱) آب:اتانول	۵۴۰	۹۲	[۲۲]
۱۹	۵a	NH <sub>4</sub> F	آب/(۱:۱)/۸۰ °C آب:اتانول	۱۵	۹۷	روش حاضر



شماتی ۲ - مکانیسم پیشنهادی سنتز مشتق‌های تراهیدروبنزو (b)پیران.



شماتی ۳ - مکانیسم پیشنهادی سنتز مشتق‌های تراهیدروبنزو (b)پیران.

نخست در اثر تراکم ۱، ۳ - سیکلوهگزا دی اون یا دیدمدون با آلدهید آروماتیک فعال شده توسط یون آمونیوم کاتالیزور، حد واسط (A)

مکانیسم پیشنهادی سنتز مشتق‌های تراهیدروبنزو (b)پیران

در این پژوهش یک روش تک ظرف برای سنتز مشتق‌های تراهیدروبنزو[*b*]پیران و پیرانوپیرازول‌ها در حضور آمونیوم فلورید به عنوان یک کاتالیست مقرون به صرفه، قابل دسترس و کارآمد در مخلوط حلال اتانول: آب (۱:۱) ارایه شد. ارایه روشی ساده، زمان واکنش کوتاه، حلال غیرسمی و سازگار با محیط زیست و بازده واکنش بالا از ویژگی‌های برجسته این پژوهش است.

### قدرتانی

نویسنده‌گان مقاله از حمایت‌های مالی دانشگاه آزاد اسلامی واحد رشت برای این پژوهش قدردانی می‌کنند.

تشکیل می‌شود و در ادامه هیدروژن اسیدی مالونونیتریل با آنیون فلور اکاتالیست جدا شده و با حد واسط (A) در اثر واکنش افزایش مایکل، حد واسط (B) ایجاد می‌شود. در ادامه واکنش در اثر تراکم درون مولکولی و توتومری شدن فراورده نهایی (D) تشکیل می‌شود (شماره ۲).

### مکانیزم پیشنهادی سنتز مشتق‌های پیرانوپیرازول‌ها

نخست در اثر واکنش هیدرازین با اتیل استواتات حد واسط (A) تشکیل می‌شود. همچنین در اثر واکنش مالونونیتریل با آلدھید حد واسط (B) ایجاد می‌شود. یون آمونیوم کاتالیزگر گروه کربونیل را فعال کرده و آنیون فلور هیدروژن اسیدی مالونونیتریل را جدا کرده و انجام واکنش را تسهیل می‌کند. سپس در اثر حلقه‌ی شدن (A) حد واسط (C) تشکیل شده که در اثر حلقه‌ی شدن به حد واسط (D) تبدیل می‌شود و سرانجام با توتومری شدن به فراورده (E) تبدیل می‌شود (شماره ۳).

### نتیجه گیری

### مراجع

- [1] Bonsignore L., Loy G., Secci D., Calignano A. *Synthesis and Pharmacological Activity of 2-oxo-(2H) 1-benzopyran-3-carboxamide Derivatives*, *Eur. J. Med. Chem.*, **28**: 517-520 (1993).
- [2] Saini A., Kumar S., Sandhu J.S., *A New LiBr-Catalyzed, Facile and Efficient Method for the Synthesis of 14-alkyl or aryl-14*H*-dibenzo[*a,j*]xanthenes and Tetrahydrobenzo[*b*]pyrans under Solvent-Free Conventional and Microwave Heating*, *Synlett*, **12**: 1928-1932 (2006).
- [3] Hatakeyama S., Ochi N., Numata H., Takano S. *A New Route to Substituted 3-methoxycarbonyldihydropyrans; Enantioselective Synthesis of (-)-methyl Elenolate*. *J. Chem. Soc. Chem. Commun.*, **21**: 1202-1204 (1988).
- [4] Nimbalkar U. D., Seijas, J. A., Vazquez-Tato M. P., Damale M. G., Sangshetti J. N., Nikalje A. P. G. *Ionic Liquid-Catalyzed Green Protocol for Multi-Component Synthesis of Dihydropyrano[2,3-*c*]pyrazoles as Potential Anticancer Scaffolds*. *Molecules*, **22**: 1628-1645 (2017).
- [5] Zaki M. E. A., Saliman H. A., Hiekal O. A., Rashad A. E. Z., *Pyrazolopyranopyrimidines as a Class of Anti-Inflammatory Agents*, *Naturforsch. C: Biosci.*, **61**: 1- 5 (2006).
- [6] Foloppe N., Fisher L. M., Howes R., Potter A., Robertson A. G., Surgenor A. E., *Identification of Chemically Diverse Chk1 Inhibitors by Receptor-Based Virtual Screening*, *Bioorg. Med. Chem.*, **14**: 4792-4802 (2006).
- [7] Alizadeh A., Khodaei M. M., Beygzadeh M., Kordestani D., Feyzi M., *Biguanide-Functionalized Fe<sub>3</sub>O<sub>4</sub>/SiO<sub>2</sub> Magnetic Nanoparticles: An Efficient Heterogeneous Organosuperbase Catalyst*

- for Various Organic Transformations in Aqueous Media, *Bull. Korean Chem. Soc.*, **33**: 2546-2552 (2012).
- [8] Abdollahi-Alibeik M., Nezampour F. Synthesis of 4H-benzo[b]pyrans in the Presence of Sulfated MCM-41 Nanoparticles as Efficient and Reusable Solid Acid Catalyst, *Reac. Kinet. Mech. Cat.*, **108**: 213-229 (2013).
- [9] Hasaninejad A., Shekouhy M., Golzar N., Zare A., Doroodmand M. M. Silica Bonded n-propyl-4-aza-1-azoniabicyclo[2.2.2]octane Chloride (SB-DABCO): A highly Efficient, Reusable and New Heterogeneous Catalyst for the Synthesis of 4H-benzo[b]pyran Derivatives, *Appl. Catal. A Gen.*, **402**: 11-22 (2011).
- [10] Shi D., Mou J., Zhuang Q., Wang X., One-Pot synthesis of 2-amino-4-aryl-5-oxo-5,6,7,8-tetrahydro-4H-1-benzopyran-3-carbonitriles in Aqueous Media, *J. Chem. Res.*, 821-823 (2004).
- [11] Mohammadi Ziarani G., Abbasi A., Badiei A., Aslani Z., An Efficient Synthesis of Tetrahydrobenzo[b]pyran Derivatives Using Sulfonic Acid Functionalized Silica as an Efficient Catalyst, *J. Chem.*, **8**: 293-299 (2011).
- [12] Shirini F., Abedini M., Zarabzadeh S., Seddighi M. Efficient Synthesis of 4H-pyran Derivatives Using a Polymeric Catalyst Based on PVP, *J. Iran. Chem. Soc.* **12**: 2105-2113 (2015).
- [13] Chen L., Bao S., Yang L., Zhang X., Li B., Li Y. Cheap Thiamine Hydrochloride as Efficient Catalyst for Synthesis of 4H-Benz[B]Pyrans in Aqueous Ethanol, *Res. Chem. Intermed.*, **43**: 3883-3891 (2017).

۱۰۴

## علمی - پژوهشی

- Chromene Derivatives Using a Highly Active Supported Ionic Liquid Catalyst, *RSC Adv.*, **6**: 32052-32059 (2016).
- [15] Pore D. M., Undale K. A., Dongare B. B., Desai U. V. Potassium Phosphate Catalyzed a Rapid Three-Component Synthesis of Tetrahydrobenzo[b]pyran at Ambient Temperature, *Catal. Lett.*, **132**: 104-108 (2009).
- [16] Azarifar D., Abbasi Y. Sulfonic acid-Functionalized Magnetic  $Fe_{3-x}Ti_xO_4$  nanoparticles: New Recyclable Heterogeneous Catalyst for One-Pot Synthesis of Tetrahydrobenzo[b]pyrans and Dihydropyran[2,3-c]pyrazole Derivatives, *Synth. Commun.*, **46**: 745-758 (2016).
- [17] Jin T. S., Wang A. Q., Shi F., Han L. S., Liu L. B., Li T. S. Hexadecyldimethyl Benzyl Ammonium Bromide: An Efficient Catalyst for a Clean One-Pot Synthesis of Tetrahydrobenzopyran Derivatives in Water, *ARKIVOC*, **xiv**: 78-86 (2006).
- [18] Moosavi-Zare A. R., Zolfigol M. A., Noroozizadeh E., Tavasoli M., Khakyzadeh V., Zare A. Synthesis of 6-amino-4-(4-methoxyphenyl)-5-cyano-3-methyl-1-phenyl-1,4-dihydropyran[2,3-c]pyrazoles Using Disulfonic Acid Imidazolium Chloroaluminate as a Dual and Heterogeneous Catalyst, *New J. Chem.*, **37**: 4089-4094 (2013).

- [19] Kiyani H., Samimi H. A., Ghorbani F., Esmaili S. One-Pot, Four-Component Synthesis of Pyrano[2,3-*c*]pyrazoles Catalyzed by Sodium Benzoate in Aqueous Medium, *Curr. Chem. Lett.*, **2**: 197-206 (2013).
- [20] Brahmachari G., Banerjee B., Room Temperature One-Pot Green Synthesis of Coumarin-3-Carboxylic Acids in Water: a Practical Method for the Large-Scale Synthesis, *ACS Sust. Chem. Eng.*, **2**: 411-422 (2014).
- [21] Zhou C. F., Li J. J., Su W. K.. Morpholine Triflate Promoted One-Pot, Four-Component Synthesis of Dihydropyrano[2,3-*C*]Pyrazoles, *Chin. Chem. Lett.*, **27**: 1686-1690 (2016).
- [22] Kumar G. S., Kurumurthy C., Veeraswamy B., Rao P. S., Rao P. S., Narsaiah B. An Efficient Multi-Component Synthesis of 6-amino-3-methyl-4-Aryl-2,4-dihydropyrano[2,3-*c*]pyrazole-5-Carbonitriles, *Org. Prep. Proced. Int.*, **45**: 429-436 (2013).
- [23] Soleimani E., Jafarzadeh M., Norouzi P., Dayou J., Sipaut C. S., Mansa R. F., Saei P. Synthesis of Pyranopyrazoles Using Magnetically Recyclable Heterogeneous Iron Oxide-Silica Core-Shell Nanocatalyst, *J. Chin. Chem. Soc.* **62**: 1155-1162 (2015).
- [24] Mecadon H., Rohman M. R., Rajbangshi M., Myrboh B.  $\gamma$ -Alumina as a Recyclable Catalyst for the Four-Component Synthesis of 6-amino-4-alkyl/aryl-3-methyl-2,4-dihydropyrano[2,3-*c*]pyrazole-5-carbonitriles in Aqueous Medium, *Tetrahedron Lett.*, **52**: 2523-2525 (2011).
- [25] Mecadon H., Rohman M. R., Kharbangar I., Laloo B. M., Kharkongor I., Rajbangshi M., Myrboh B. L-Proline as an Efficient Catalyst for the Multi-Component Synthesis of 6-amino-4-alkyl/aryl-3-methyl-2,4-dihydropyrano[2,3-*c*]pyrazole-5-carbonitriles in Water, *Tetrahedron Lett.*, **52**: 3228-3231 (2011).
- [26] Tayade Y. A., Padvi S. A., Wagh Y. B., Dalal D. S.  $\beta$ -Cyclodextrin as a Supramolecular Catalyst for the Synthesis of Dihydropyrano[2,3-*c*]pyrazole and Spiro[indoline-3,4'-pyrano[2,3-*c*]pyrazole] in Aqueous Medium, *Tetrahedron Lett.*, **56**: 2441-2447 (2015).
- [27] Wu M., Feng Q., Wan H. D., Ma J. CTACl as Catalyst For Four-Component, One-Pot Synthesis of Pyranopyrazole Derivatives in Aqueous Medium, *Synth. Commun.*, **43**: 1721-1726 (2013).
- [28] Atar, A.B.; Kim, J.T.; Lim, K.T.; Jeong, Y.T.; Synthesis of 6-amino-2,4-dihydropyrano[2,3-*c*]pyrazol-5-carbonitriles Catalyzed by Silica-Supported Tetramethylguanidine Under Solvent-Free Conditions, *Synth. Commun.*, **44**: 2679-2691 (2014).
- [29] Vekariya, R. H.; Patel, K.D.; Patel, H.; Fruit juice of Citrus Limon as a Biodegradable and Reusable Catalyst for Facile, Eco-Friendly and Green Synthesis of 3,4-disubstituted Isoxazol-5(4*H*)-ones and Dihydropyrano[2,3-*c*]-pyrazole Derivatives, *Res. Chem. Intermed.*, **42**: 4683-4696 (2016).
- [30] Khurana J. M., Chaudhary A., Efficient and Green synthesis of 4*H*-pyrans and 4*H*-pyrano[2,3-*c*]Pyrazoles Catalyzed by Task-Specific Ionic Liquid [bmim]OH Under Solvent-Free Conditions, *Green Chem. Lett. Rev.*, **5**: 633-638 (2012).

- [31] Sachdeva H., Saroj R., ZnO nanoparticles as an Efficient, Heterogeneous, Reusable, and Ecofriendly Catalyst for Four-Component One-Pot Green Synthesis of Pyranopyrazole Derivatives in Water, *Sci. World. J.*, (2013).
- [32] Reddy G.M., Garcia J.R., Synthesis of Pyranopyrazoles under Eco-Friendly Approach by Using acid Catalysis. *J. Heterocyclic Chem.*, **54**: 89-94 (2017).
- [33] Maleki B., Eshghi H., Barghamadi M., Nasiri N., Khojastehnezhad A., Ashrafi S.S., Pourshiani O., Silica-coated Magnetic NiFe<sub>2</sub>O<sub>4</sub> Nanoparticles-Supported H<sub>3</sub>PW<sub>12</sub>O<sub>40</sub>; Synthesis, Preparation, and Application as an Efficient, Magnetic, Green Catalyst for One-Pot Synthesis of Tetrahydrobenzo[*b*]pyran and Pyrano[2,3-*c*]pyrazole Derivatives, *Res. Chem. Intermed.*, **42**: 3071–3093 (2016).
- [34] Maleki B., Nasiri N., Tayebee R., Khojastehnezhad A., Akhlaghi H.A., Green Synthesis of Tetrahydrobenzo[*b*]pyrans, Pyrano[2,3-*c*]pyrazoles and Spiro[indoline-3,4'-pyrano[2,3-*c*]pyrazoles Catalyzed by Nano-Structured Diphosphate in Water., *RSC Adv.*, **6**: 79128-79134 (2016).
- [35] Maghsoodlou M.T., Heydari R., Mohamadpour F., Fe<sub>2</sub>O<sub>3</sub> as an Environmentally Benign Natural Catalyst for One-Pot and Solvent-Free synthesis of spiro-4H-pyran Derivatives, *Iran. J. Chem. Eng. (IJCCE)*, **36**(4): 31-38 (2017).